



## Capsule d'ancrage chimique, pour usage sur béton non fissuré

**CA-QU**

Homologation ETA Option 8 [béton non fissuré].



### INFORMATIONS SUR LE PRODUIT

#### DESCRIPTION

Ancrage chimique, résine époxy acrylate, quartz et catalyseur.

#### DOCUMENTATION OFFICIELLE

- ETA 08/0350 option 8, de M8 à M24 pour béton non fissuré.
- Déclaration prestations DoP CA-QU
- Certification EVCP 1109-BPR-0044 pour usage sur béton.

#### VALIDITÉ POUR



Goujon

#### DIMENSIONS

Goujon M8 - M24

#### PLAGE DE CHARGES DE CALCUL

De 11,1 à 50,0 kN (non fissuré).

#### MATÉRIAU DE BASE

Béton de qualité C20/25 non fissuré.



Béton



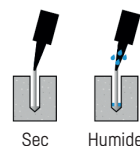
Brique pleine

#### HOMOLOGATIONS

- ETA 08/0350 Option 8 : béton non fissuré.



#### CONDITION DU PERÇAGE



Sec

Humide

#### CARACTÉRISTIQUES ET AVANTAGES

- Installation facile.
- Usage sur béton non fissuré.
- Emploi sur charges moyennes-élevées.
- Plage de températures de -40 °C à +80 °C (température maximale à long terme +50 °C).
- Variété de longueurs et diamètre : goujons homologués M8-M24, flexibilité lors du montage.
- Pour charges statiques ou quasi-statiques.
- Version en acier zingué, acier inoxydable A2 et A4.
- Disponible en INDEXcal.



#### MATÉRIAUX

Goujon standard :

Acier au carbone 5.8, 8.8.



Goujon standard inoxydable :

Acier inoxydable A2-70 et A4-70.



#### APPLICATIONS

- Pour usage intérieur et extérieur.
- Scellement de machines-outils et de pièces vibrantes.
- N'est pas adapté pour les installations sur les plafonds.
- Applications structurelles.



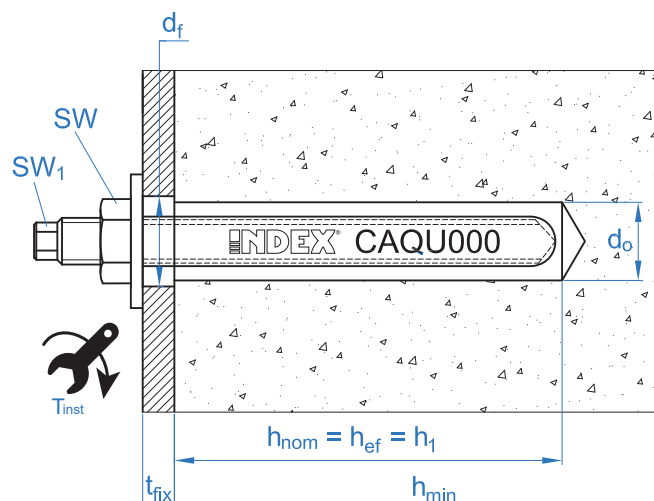


**MATÉRIAUX**

Item	Composant	Zingué	Inoxydable A2/A4
1	Capsule	Ampoule en verre avec composant de base, résine de durcissement à froid et durcisseur	
2	Goujon	Acier classe 5.8, 8.8, ISO 898-1, zingué $\leq 5 \mu\text{m}$	A2-70 (AISI 304) A4-70 (AISI 316)
3	Rondelle DIN 125	Zingué $\leq 5 \mu\text{m}$	A2-70 (AISI 304) A4-70 (AISI 316)
4	Écrou DIN 934	Classe résistance 5 selon DIN 934, zingué $\leq 5 \mu\text{m}$	A2-70 (AISI 304) A4-70 (AISI 316)

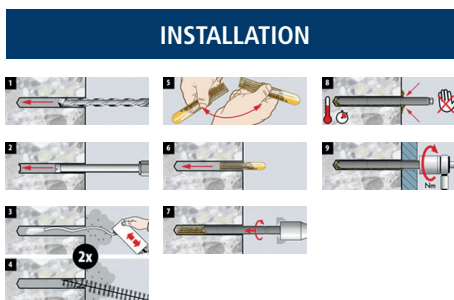
**DONNÉES D'INSTALLATION**

MÉTRIQUE		M8	M10	M12	M16	M20	M24
Capsule chimique		CAQU008	CAQU010	CAQU012	CAQU016	CAQU020	CAQU024
Goujon zingué		EQAC08110	EQAC10130	EQAC12160	EQAC16190	EQAC20260	EQAC24300
Goujon inoxydable A2		EQA208110	EQA210130	EQA212160	EQA216190	EQA220260	EQA224300
Goujon inoxydable A2		EQA408110	EQA410130	EQA412160	EQA416190	EQA420260	EQA424300
$d_o$	diamètre de mèche [mm]	10	12	14	18	25	28
$T_{inst}$	couple d'installation [Nm]	10	20	40	80	120	180
$d_p$	diamètre capsule [mm]	9	11	13	17	22	24
$l_p$	longueur capsule [mm]	80	80	95	95	175	210
$d_f$	diamètre de filetage sur la plaque à fixer [mm]	9	12	14	18	22	26
$h_1 = h_{nom} = h_{ef}$	profondeur du perçage [mm]	80	90	110	125	170	210
$h_{min}$	épaisseur minimale du matériau de base [mm]	110	120	140	160	220	260
$t_{fix}$	épaisseur minimale à fixer [mm]	17	25	32	44	66	62
$s_{cr,N}$	distance critique entre ancrages [mm]	240	180	220	250	340	420
$c_{cr,N}$	distance critique au bord [mm]	120	90	110	125	170	210
$s_{cr,sp}$	distance critique à la fissuration [mm]	240	180	220	250	340	420
$c_{cr,sp}$	distance critique au bord [mm]	120	90	110	125	170	210
$s_{min}$	distance minimale entre ancrages [mm]	40	45	55	65	85	105
$c_{min}$	$c_{min}$ : Distance minimale au bord [mm]	40	45	55	65	85	105
SW	SW : Clé d'installation	13	17	19	24	30	36
SW <sub>1</sub>	SW1 : clé écrou goujon	5	7	7	12	13	13





Code	PRODUITS D'INSTALLATION
	Perceuse à percussion
BHDSXXXXX	Forets à béton
MOBOMBA	Pompe de soufflage
MORCEPKIT	Brosse de nettoyage
	Clé dynamométrique
	Douilles hexagonales



**CA-QU**

### Résistances de béton C20/25 pour un ancrage isolé, sans effets sur la distance au bord ni les distances entre ancrages

Résistance caractéristique $N_{Rk}$ et $V_{Rk}$																	
TRACTION							CISAILLEMENT										
Métrique			M8	M10	M12	M16	M20	M24	Métrique			M8	M10	M12	M16	M20	M24
$N_{Rk}$	Béton non fissuré	[kN]	20	30	40	50	75	90	$V_{Rk}$	Acier classe 5.8	[kN]	9	14	21	39	61	88
			15	23	33	63	98	141									
			13	20	29	55	86	124									
			15	23	33	62	98	141									

Résistance de calcul $N_{Rd}$ et $V_{Rd}$																	
TRACTION							CISAILLEMENT										
Métrique			M8	M10	M12	M16	M20	M24	Métrique			M8	M10	M12	M16	M20	M24
$N_{Rd}$	Béton non fissuré	[kN]	11,1	16,7	22,2	27,8	41,7	50,0	$V_{Rd}$	Acier classe 5.8	[kN]	7,2	11,2	16,8	31,2	48,8	70,4
			12,0	18,4	26,4	50,4	78,4	112,8									
			8,3	12,8	18,6	35,3	55,1	79,5									
			11,3	17,3	24,8	46,6	73,7	106,0									

Charge maximale recommandée $N_{rec}$ et $V_{rec}$																	
TRACTION							CISAILLEMENT										
Métrique			M8	M10	M12	M16	M20	M24	Métrique			M8	M10	M12	M16	M20	M24
$N_{rec}$	Béton non fissuré	[kN]	7,9	11,9	15,9	30	29,8	35,7	$V_{rec}$	Acier classe 5.8	[kN]	5,1	8,0	12,0	22,3	34,9	50,3
			8,6	13,1	18,9	36,0	56,0	80,6									
			6,0	9,2	13,3	25,2	39,4	56,8									
			8,1	12,4	17,7	33,3	52,6	75,7									

### Méthode de calcul simplifiée. Évaluation Technique Européenne ETA 08/0350

Version simplifiée de la méthode de calcul selon Eurocode 2 EN 1992-4. La résistance se calcule selon les données reflétées dans l'homologation ETA 08/0350.

- Influence de la résistance de béton.
- Influence de la distance au bord du béton.
- Influence de la distance entre ancrages.
- Influence des armatures.
- Influence de l'épaisseur du matériau de base.
- Influence de l'angle d'application de la charge.
- Influence de la profondeur effective.
- Valable pour un groupe de deux ancrages.
- Valable pour perçages secs ou humides.



#### INDEXcal

Pour un calcul plus précis qui prenne en compte d'autres dispositions de construction, nous recommandons l'usage de notre programme de calcul INDEXcal. Il est librement téléchargeable à partir de notre site [www.indexfix.com](http://www.indexfix.com)



**CA-QU**

**CHARGES DE TRACTION**

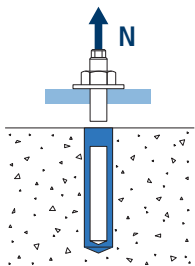
- Résistance de calcul de l'acier :
- Résistance de calcul par extraction :
- Résistance de calcul par cône béton :
- Résistance de calcul par fissuration du béton :

$$N_{Rd,s}$$

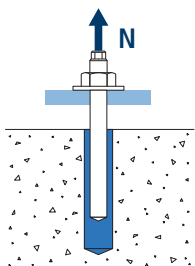
$$N_{Rd,p} = N_{Rd,p}^o$$

$$N_{Rd,c} = N_{Rd,c}^o \cdot \psi_{s,N} \cdot \psi_{c,N} \cdot \psi_{re,N}$$

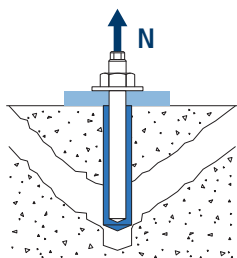
$$N_{Rd,sp} = N_{Rd,c}^o \cdot \psi_{s,sp} \cdot \psi_{c,sp} \cdot \psi_{re,N} \cdot \psi_{h,sp}$$



Résistance de calcul de l'acier								
$N_{Rd,s}$								
Métrique			M8	M10	M12	M16	M20	M24
$N_{Rd}^o$	Acier classe 5.8	[kN]	12,0	19,3	28,0	52,0	82,0	118,0
	Acier classe 8.8		19,3	30,7	44,7	84,0	130,7	188,0
	Acier inox. Classe A4-70		13,9	21,4	31,6	58,8	92,0	132,1
	Acier inox. Classe A4-80		18,1	28,8	41,9	78,8	122,5	176,3



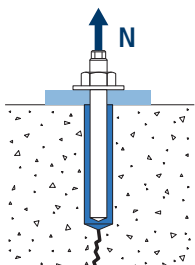
Résistance de calcul par extraction								
$N_{Rd,p} = N_{Rd,p}^o$								
Métrique			M8	M10	M12	M16	M20	M24
$N_{Rd,p}^o$	Acier classe 5.8	[kN]	11,1	16,7	22,2	27,8	41,7	50,0



Résistance de calcul par cône béton							
$N_{Rd,c} = N_{Rd,c}^o \cdot \psi_{s,N} \cdot \psi_{c,N} \cdot \psi_{re,N}$							

Résistance de calcul par fissuration du béton*							
$N_{Rd,sp} = N_{Rd,c}^o \cdot \psi_{s,sp} \cdot \psi_{c,sp} \cdot \psi_{re,N} \cdot \psi_{h,sp}$							

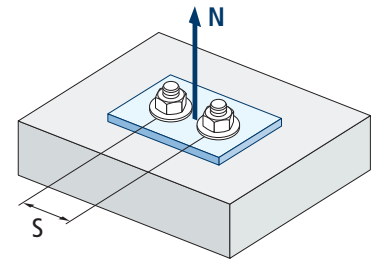
Métrique			M8	M10	M12	M16	M20	M24
$N_{Rd,c}^o$	Acier classe 5.8	[kN]	19,6	23,3	31,5	38,2	60,6	83,2





Influence distance entre ancrages (cône béton) $\Psi_{s,N}$						
s [mm]	CA-QU					
	M8	M10	M12	M16	M20	M24
40	0,58					
45	0,59	0,63				
50	0,60	0,64				
55	0,61	0,65	0,63			
60	0,63	0,67	0,64			
65	0,64	0,68	0,65	0,63		
70	0,65	0,69	0,66	0,64		
75	0,66	0,71	0,67	0,65		
80	0,67	0,72	0,68	0,66		
85	0,68	0,74	0,69	0,67	0,63	
90	0,69	0,75	0,70	0,68	0,63	
95	0,70	0,76	0,72	0,69	0,64	
100	0,71	0,78	0,73	0,70	0,65	
105	0,72	0,79	0,74	0,71	0,65	0,63
110	0,73	0,81	0,75	0,72	0,66	0,63
120	0,75	0,83	0,77	0,74	0,68	0,64
140	0,79	0,89	0,82	0,78	0,71	0,67
160	0,83	0,94	0,86	0,82	0,74	0,69
180	0,88	1,00	0,91	0,86	0,76	0,71
200	0,92		0,95	0,90	0,79	0,74
220	0,96		1,00	0,94	0,82	0,76
240	1,00			0,98	0,85	0,79
250				1,00	0,87	0,80
260					0,88	0,81
280					0,91	0,83
300					0,94	0,86
320					0,97	0,88
340					1,00	0,90
360						0,93
380						0,95
400						0,98
420						1,00

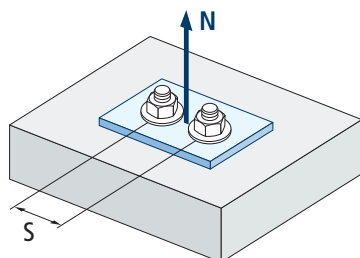
CA-QU



$$\Psi_{s,N} = 0,5 + \frac{s}{2 \cdot S_{cr,N}} \leq 1$$



# CA-QU



$$\Psi_{s,sp} = 0,5 + \frac{s}{2 \cdot s_{cr,sp}} \leq 1$$

Influence distance entre ancrages (fissuration) $\Psi_{s,sp}$						
s [mm]	CA-QU					
	M8	M10	M12	M16	M20	M24
40	0,58					
45	0,59	0,63				
50	0,60	0,64				
55	0,61	0,65	0,63			
60	0,63	0,67	0,64			
65	0,64	0,68	0,65	0,63		
70	0,65	0,69	0,66	0,64		
75	0,66	0,71	0,67	0,65		
80	0,67	0,72	0,68	0,66		
85	0,68	0,74	0,69	0,67	0,63	
90	0,69	0,75	0,70	0,68	0,63	
95	0,70	0,76	0,72	0,69	0,64	
100	0,71	0,78	0,73	0,70	0,65	
105	0,72	0,79	0,74	0,71	0,65	0,63
110	0,73	0,81	0,75	0,72	0,66	0,63
120	0,75	0,83	0,77	0,74	0,68	0,64
140	0,79	0,89	0,82	0,78	0,71	0,67
160	0,83	0,94	0,86	0,82	0,74	0,69
180	0,88	1,00	0,91	0,86	0,76	0,71
200	0,92		0,95	0,90	0,79	0,74
220	0,96		1,00	0,94	0,82	0,76
240	1,00			0,98	0,85	0,79
250				1,00	0,87	0,80
260					0,88	0,81
280					0,91	0,83
300					0,94	0,86
320					0,97	0,88
340					1,00	0,90
360						0,93
380						0,95
400						0,98
420						1,00

Valeur non admise

Valeur sans réduction = 1

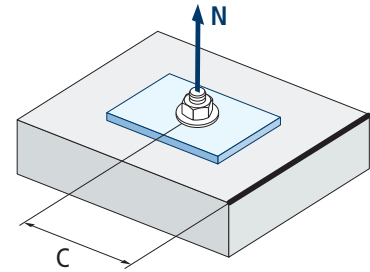


Influence distance au bord béton (fissuration) $\Psi_{c,sp}$						
s [mm]	CA-QU					
	M8	M10	M12	M16	M20	M24
40	0,53					
45	0,56	0,64				
50	0,58	0,67				
55	0,61	0,71	0,64			
60	0,64	0,75	0,67			
65	0,66	0,79	0,70	0,65		
70	0,69	0,83	0,73	0,68		
75	0,72	0,87	0,76	0,70		
80	0,75	0,91	0,79	0,73		
85	0,78	0,96	0,83	0,76	0,64	
90	0,81	1,00	0,86	0,79	0,66	
95	0,84		0,89	0,82	0,68	
100	0,87		0,93	0,85	0,70	
105	0,90		0,96	0,88	0,72	0,64
110	0,93		1,00	0,91	0,74	0,65
115	0,97			0,94	0,76	0,67
120	1,00			0,97	0,78	0,68
125				1,00	0,80	0,70
130					0,82	0,72
140					0,86	0,75
150					0,91	0,78
160					0,95	0,82
170					1,00	0,85
190						0,93
210						1,00

Valeur non admise

Valeur sans réduction = 1

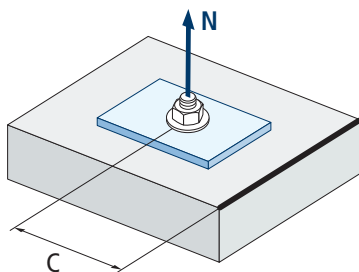
CA-QU



$$\Psi_{c,sp} = 0,35 + \frac{0,5 \cdot c}{C_{cr,sp}} + \frac{0,15 \cdot c^2}{C_{cr,sp}^2} \leq 1$$



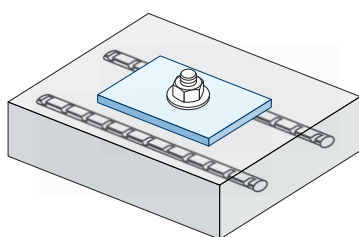
# CA-QU



$$\Psi_{c,N} = 0,35 + \frac{0,5 \cdot c}{C_{cr,N}} + \frac{0,15 \cdot c^2}{C_{cr,N}^2} \leq 1$$

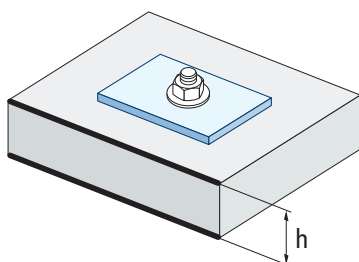
Influence distance au bord béton (cône béton) $\Psi_{c,N}$						
s [mm]	CA-QU					
	M8	M10	M12	M16	M20	M24
40	0,53					
45	0,56	0,64				
50	0,58	0,67				
55	0,61	0,71	0,64			
60	0,64	0,75	0,67			
65	0,66	0,79	0,70	0,65		
70	0,69	0,83	0,73	0,68		
75	0,72	0,87	0,76	0,70		
80	0,75	0,91	0,79	0,73		
85	0,78	0,96	0,83	0,76	0,64	
90	0,81	1,00	0,86	0,79	0,66	
95	0,84		0,89	0,82	0,68	
100	0,87		0,93	0,85	0,70	
105	0,90		0,96	0,88	0,72	0,64
110	0,93		1,00	0,91	0,74	0,65
115	0,97			0,94	0,76	0,67
120	1,00			0,97	0,78	0,68
125				1,00	0,80	0,70
130					0,82	0,72
140					0,86	0,75
150					0,91	0,78
170					1,00	0,85
190						0,93
210						1,00

\*La distance critique au bord béton coïncide avec la distance minimale au bord béton



$$\Psi_{re,N} = 0,5 + \frac{h_{ef}}{200} \leq 1$$

Influence des armatures $\Psi_{re,N}$						
$\Psi_{re,N}$	M8	M10	M12	M16	M20	M24
	0,9	0,95	1,00	1,00	1,00	1,00



Influence de l'épaisseur du matériau de base $\Psi_{h,sp}$											
$\Psi_{h,sp}$	h/h <sub>ef</sub>	2,00	2,20	2,40	2,60	2,80	3,00	3,20	3,40	3,60	3,68
		f <sub>h</sub>	1,00	1,07	1,13	1,19	1,25	1,31	1,37	1,42	1,48

$$\Psi_{h,sp} = \left( \frac{h}{2 \cdot h_{ef}} \right)^{2/3} \leq 1,5$$





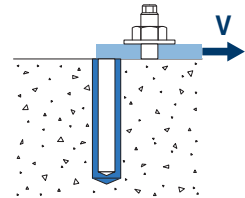
## CHARGE DE CISAILLEMENT

- Résistance de calcul de l'acier sans effet de levier :  $V_{Rd,s}$
- Résistance de calcul par écaillage :  $V_{Rd,cp} = k \cdot N_{Rd,c}^{\circ}$
- Résistance de calcul par bord de béton :  $V_{Rd,c} = V_{Rd,c}^{\circ} \cdot \Psi_{se,V} \cdot \Psi_{c,V} \cdot \Psi_{re,V} \cdot \Psi_{\alpha,V} \cdot \Psi_{h,V}$

CA-QU

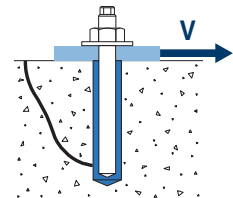
### Résistance de calcul de l'acier au cisaillement

		$V_{Rd,s}$					
Métrique		M8	M10	M12	M16	M20	M24
$V_{Rd,s}^{\circ}$	Acier classe 5.8	7,2	11,2	16,8	31,2	48,8	70,4
	Acier classe 8.8	12,0	18,4	26,4	50,4	78,4	112,8
	Acier inox. Classe A4-70	8,3	12,8	18,6	35,3	55,1	79,5
	Acier inox. Classe A4-80	11,3	17,3	24,8	46,6	73,7	106,0



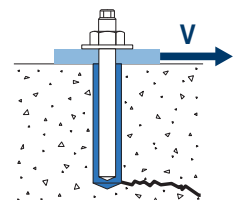
### Résistance de calcul par écaillage

		$V_{Rd,cp} = k \cdot N_{Rd,c}^{\circ}$					
Métrique		M8	M10	M12	M16	M20	M24
	K	2	2	2	2	2	2



### Résistance de calcul par bord de béton

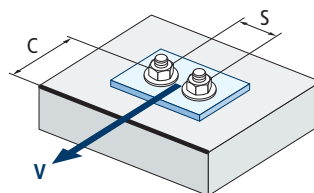
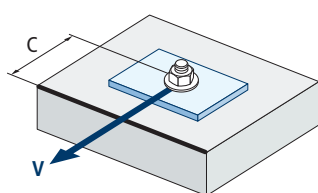
		$V_{Rd,c} = V_{Rd,c}^{\circ} \cdot \Psi_{se,V} \cdot \Psi_{c,V} \cdot \Psi_{re,V} \cdot \Psi_{\alpha,V} \cdot \Psi_{h,V}$					
Métrique		M8	M10	M12	M16	M20	M24
$V_{Rd,c}^{\circ}$	Béton non fissuré	5,7	8,6	11,8	19,0	28,3	36,4



## Coefficients d'influence

### Influence de la distance au bord et distance entre ancrages $\Psi_{se,V}$

		Pour un ancrage																	
		$c/h_{ef}$	0,50	0,75	1,00	1,25	1,50	1,75	2,00	2,25	2,50	2,75	3,00	3,25	3,50	3,75	4,00	4,50	5,00
	Isolé		0,35	0,65	1,00	1,40	1,84	2,32	2,83	3,38	3,95	4,56	5,20	5,86	6,55	7,26	8,00	9,55	11,18
		Pour deux ancrages																	
		$c/h_{ef}$	0,50	0,75	1,00	1,25	1,50	1,75	2,00	2,25	2,50	2,75	3,00	3,25	3,50	3,75	4,00	4,50	5,00
s/c	1,0		0,24	0,43	0,67	0,93	1,22	1,54	1,89	2,25	2,64	3,04	3,46	3,91	4,37	4,84	5,33	6,36	7,45
	1,5		0,27	0,49	0,75	1,05	1,38	1,74	2,12	2,53	2,96	3,42	3,90	4,39	4,91	5,45	6,00	7,16	8,39
	2,0		0,29	0,54	0,83	1,16	1,53	1,93	2,36	2,81	3,29	3,80	4,33	4,88	5,46	6,05	6,67	7,95	9,32
	2,5		0,32	0,60	0,92	1,28	1,68	2,12	2,59	3,09	3,62	4,18	4,76	5,37	6,00	6,66	7,33	8,75	10,25
	≥ 3,0		0,35	0,65	1,00	1,40	1,84	2,32	2,83	3,38	3,95	4,56	5,20	5,86	6,55	7,26	8,00	9,55	11,18

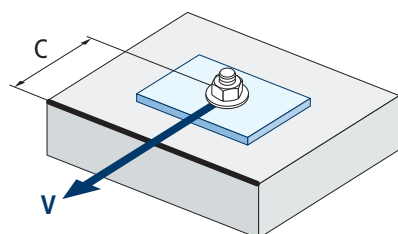


$$\Psi_{se,V} = \left(\frac{c}{h_{ef}}\right)^{1,5}$$

$$\Psi_{se,V} = \left(\frac{c}{h_{ef}}\right)^{1,5} \cdot \left(1 + \frac{s}{3 \cdot c}\right) \cdot 0,5 \leq \left(\frac{c}{h_{ef}}\right)^{1,5}$$



## CA-QU



$$\psi_{c,v} = \left( \frac{d}{c} \right)^{0,20}$$

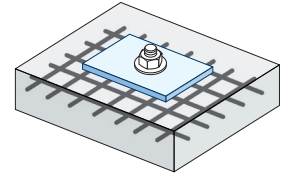
Influence distance au bord béton $\psi_{c,v}$						
c [mm]	CA-QU					
	M8	M10	M12	M16	M20	M24
40	0,72					
45	0,71	0,74				
50	0,69	0,72				
55	0,68	0,71	0,74			
60	0,67	0,70	0,72			
65	0,66	0,69	0,71	0,76		
70	0,65	0,68	0,70	0,74		
80	0,63	0,66	0,68	0,72		
85	0,62	0,65	0,68	0,72	0,75	
90	0,62	0,64	0,67	0,71	0,74	
100	0,60	0,63	0,65	0,69	0,72	
105	0,60	0,62	0,65	0,69	0,72	0,74
110	0,59	0,62	0,64	0,68	0,71	0,74
120	0,58	0,61	0,63	0,67	0,70	0,72
125	0,58	0,60	0,63	0,66	0,69	0,72
130	0,57	0,60	0,62	0,66	0,69	0,71
135	0,57	0,59	0,62	0,65	0,68	0,71
140	0,56	0,59	0,61	0,65	0,68	0,70
150	0,56	0,58	0,60	0,64	0,67	0,69
160	0,55	0,57	0,60	0,63	0,66	0,68
170	0,54	0,57	0,59	0,62	0,65	0,68
175	0,54	0,56	0,59	0,62	0,65	0,67
180	0,54	0,56	0,58	0,62	0,64	0,67
190	0,53	0,55	0,58	0,61	0,64	0,66
200	0,53	0,55	0,57	0,60	0,63	0,65
210	0,52	0,54	0,56	0,60	0,62	0,65
220	0,52	0,54	0,56	0,59	0,62	0,64
230	0,51	0,53	0,55	0,59	0,61	0,64
240	0,51	0,53	0,55	0,58	0,61	0,63
250	0,50	0,53	0,54	0,58	0,60	0,63
260	0,50	0,52	0,54	0,57	0,60	0,62
270	0,49	0,52	0,54	0,57	0,59	0,62
280	0,49	0,51	0,53	0,56	0,59	0,61
290	0,49	0,51	0,53	0,56	0,59	0,61
300	0,48	0,51	0,53	0,56	0,58	0,60

Valeur non admise

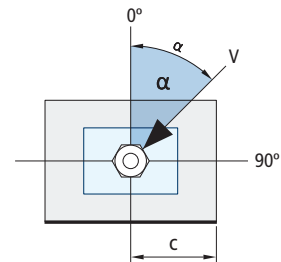


**CA-QU**

Influence des armatures $\Psi_{re,v}$				
	Béton non fissuré	Sans armature périphérique	Armature périphérique $\geq \varnothing 12\text{mm}$	Armature périphérique avec étriers à $\leq 100\text{mm}$
$\Psi_{re,v}$		1	1	1

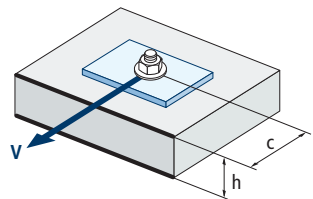


Influence de l'angle d'application de la charge $\Psi_{\alpha,v}$										
Angle, $\alpha(^{\circ})$	0°	10°	20°	30°	40°	50°	60°	70°	80°	90°
$\Psi_{\alpha,v}$	1,00	1,01	1,05	1,13	1,24	1,40	1,64	1,97	2,32	2,50



$$\Psi_{\alpha,v} = \sqrt{\frac{1}{(\cos \alpha_v)^2 + \left(\frac{\text{sans } \alpha_v}{2,5}\right)^2}} \geq 1$$

Influence de l'épaisseur du matériau de base $\Psi_{h,v}$										
h/c	0,15	0,30	0,45	0,60	0,75	0,90	1,05	1,20	1,35	$\geq 1,5$
$\Psi_{h,v}$	0,32	0,45	0,55	0,63	0,71	0,77	0,84	0,89	0,95	1,00



$$\Psi_{h,v} = \left(\frac{h}{1,5 \cdot c}\right)^{0,5} \geq 1,0$$



**CA-QU**

**GAMME**  
CAPSULE D'ANCRAGE CHIMIQUE



Code	Dimension	Longueur capsule	☐	📦
CAQU008	8 x 80 Ø10	80	10	500
CAQU010	10 x 90 Ø12	80	10	500
CAQU012	12 x 110 Ø14	95	10	200
CAQU016	16 x 125 Ø18	95	10	200

Code	Dimension	Longueur capsule	☐	📦
CAQU020	20 x 170 Ø25	175	6	60
CAQU024	24 x 210 Ø28	210	6	60
• CAQU030	30 x 280 Ø35	265	6	30

• Dimensions non homologuées. Les valeurs de résistance et les données d'installation ne sont pas applicables pour ces références. Pour plus de renseignements, consulter le Bureau Technique.

**Accessoires pour cartouches d'ancrages chimiques**

**MO-AC** Canules de mélange et divers



CODE	MODÈLE
<b>MOBOMBA</b>	Pompe de soufflage
<b>MORCEPKIT</b> Kit 3 brosses (ø15, ø20, ø30)	Kit 3 brosses

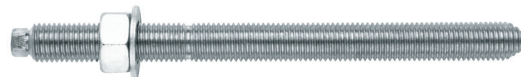
**Goujon pour ancrage chimique avec écrou et rondelle**

**EQ-AC** Zingué 5.8



CODE	DIMENSION
EQAC08110	M8 x 110
EQAC10130	M10 x 130
EQAC10190	M10 x 190
EQAC12160	M12 x 160
EQAC12220	M12 x 220
EQAC16190	M16 x 190
EQAC16250	M16 x 250
EQAC20260	M20 x 260
EQAC20350	M20 x 350
EQAC24300	M24 x 300
EQAC24380	M24 x 380
EQAC30330	M30 x 330

**EQ-A2** Inoxydable A2



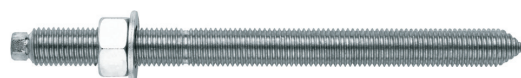
CODE	DIMENSION
EQA208110	M8 x 110
EQA210130	M10 x 130
EQA212160	M12 x 160
EQA216190	M16 x 190
EQA220260	M20 x 260
EQA224300	M24 x 300
EQA230330	M30 x 330

**EQ-8.8** Zingué 8.8



CODE	DIMENSION
EQ8808110	M8 x 11040
EQ8810130	M10 x 130
EQ8812160	M12 x 160
EQ8816190	M16 x 190
EQ8820260	M20 x 260
EQ8824300	M24 x 300

**EQ-A4** Inoxydable A4



CODE	DIMENSION
EQA408110	M8 x 110
EQA410130	M10 x 130
EQA412160	M12 x 160
EQA416190	M16 x 190
EQA420260	M20 x 260
EQA424300	M24 x 300
EQA430330	M30 x 330